# Elettromagnetismo

Prof. Francesco Ragusa Università degli Studi di Milano

Lezione n. 36 - 16.05.2022

Quantità di moto del campo elettromagnetico Quantità di moto dell'onda e.m. Riflessione e trasmissione Incidenza normale e obliqua

Anno Accademico 2022/2023

#### Quantità di moto

 Abbiamo visto il campo elettrico generato da una carica in moto rettilineo uniforme (vedi diapositiva 167)

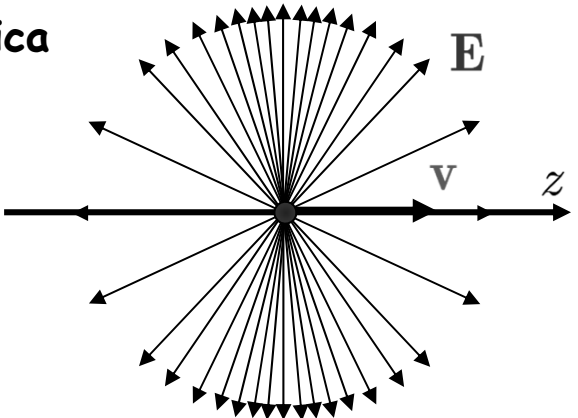
$$\mathbf{E} = \frac{1}{4\pi\varepsilon_0} \frac{Q}{r^2} \frac{1 - \beta^2}{\left(1 - \beta^2 \sin^2 \theta\right)^{3/2}} \hat{\mathbf{e}}_r \qquad \cos \theta = \hat{\mathbf{e}}_r \cdot \hat{\mathbf{e}}_z$$

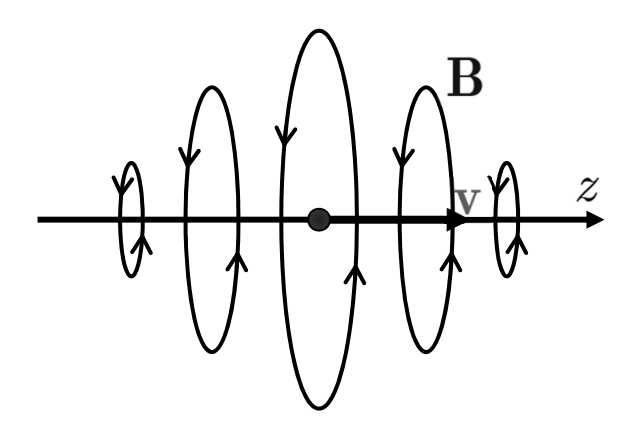




$$\mathbf{B} = \frac{1}{c^2} \mathbf{v} \times \mathbf{E}$$

- Le linee di campo sono delle circonferenze centrate sulla trajettoria
  - ullet L'intensità del campo magnetico dipende dall'angolo eta
- La forma dei campi appena introdotta permette di convincersi che in elettrodinamica è necessario introdurre anche il concetto di quantità di moto del campo elettromagnetico
  - A tal fine consideriamo un esempio





### Quantità di moto

- ullet Come esempio consideriamo due cariche  $q_1$  e  $q_2$  in movimento  $(v_1=v_2)$ 
  - ullet Le due cariche generano un campo elettrico  ${f E}$  secondo la formula della diapositiva precedente
  - ullet Le forze elettriche sono (le distanze da O sono uguali)

$$\mathbf{F_{12}} = q_2 \mathbf{E_1} \qquad \mathbf{F_{21}} = q_1 \mathbf{E_2} \qquad \mathbf{F_{12}} = -\mathbf{F_{21}}$$

- Le forze elettriche rispettano la terza legge di Newton
- Le due cariche generano anche un campo magnetico
  - ullet I campi magnetici  $B_1$  e  $B_2$  (perpendicolari allo schermo)
  - Le forze sulle due cariche sono date dalla legge di Lorentz

$$\mathbf{F_{m12}} = q_2 \mathbf{v_2} \times \mathbf{B_1} \qquad \mathbf{F_{m21}} = q_2 \mathbf{v_2} \times \mathbf{B_1}$$

- Si verifica facilmente che le due forze magnetiche hanno lo stesso modulo
  - Tuttavia le due forze magnetiche non agiscono lungo la congiungente
  - Non obbediscono alla terza legge di newton
- La violazione della terza legge di Newton sarebbe molto grave
  - La conservazione della quantità di moto dipende dalla terza legge
  - Il problema viene risolto dall'introduzione della quantità di moto del campo elettromagnetico
- Vedi: Keller J.M. Newton's Third Law and Electrodynamics American Journal of Physics 10, p. 302 (1948)

 $\mathbf{F_{m21}}$ 

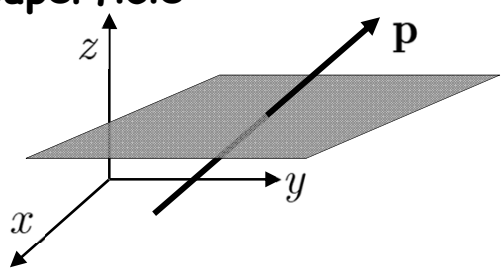
### Quantità di moto

\*\*

- Troviamo adesso un'espressione per la quantità di moto del campo elettromagnetico simile a quella dell'energia  $\left( \left. \mathbf{p}_{ ext{mech}} \right)_i = \left[ egin{array}{l} q.moto \\ materia \end{array} 
  ight]$ 
  - Per l'energia avevamo trovato

$$\begin{array}{c} \bullet \text{ Vogliamo trovare} \\ \hline \\ \frac{\partial W}{\partial t} = - \oint_{\mathcal{S}} \mathbf{S} \cdot d\mathbf{a} - \frac{\partial U_{EM}}{\partial t} \\ \hline \\ \frac{\partial}{\partial t} \big(\mathbf{p}_{\text{mech}}\big)_i = - \Big(\frac{flusso}{q.moto}\Big)_i - \Big(\frac{\partial \mathbf{p}_{EM}}{\partial t}\Big)_i \\ \hline \\ \bullet \hat{\mathbf{E}} \text{ una relazione più complicata: ci sono tre componenti } i = x, y, z \\ \hline \\ \mathbf{g} = \frac{1}{c^2} \mathbf{S} \\ \hline \end{array}$$

- La quantità di moto è un vettore
  - Il flusso attraverso una superficie deve essere un vettore
  - La grandezza corrispondente a S non può essere un vettore
    - È un tensore: il tensore degli stress di Maxwell
- Pensiamo al flusso di quantità di moto attraverso una superficie
  - Ad esempio una superficie attraversata da particelle
    - ullet Il flusso attraverso la superficie (x-y) produce quantità di moto nelle tre direzioni
    - ullet Lo stesso attraverso superfici x-z e y-z



$$\frac{dW}{dt} = -\oint_{\partial V} \mathbf{S} \cdot d\mathbf{a} - \frac{\partial U_{EM}}{\partial t} \longrightarrow \left(\frac{\partial \mathbf{p}_{mech}}{\partial t}\right)_{i} = -\left(\frac{flusso}{q.moto}\right)_{i} - \left(\frac{\partial \mathbf{p}_{EM}}{\partial t}\right)_{i}$$

- Il termine a primo membro rappresenta la variazione di quantità di moto all'interno di un volume V nell'unita di tempo
  - La variazione di quantità di moto è la forza che agisce sulla materia

$$rac{\partial \mathbf{p}_{ ext{mech}}}{\partial t} = \mathbf{F}$$
 Ricordiamo l'espressione della forza di Lorentz  $\mathbf{F} = q ig( \mathbf{E} + \mathbf{v} imes \mathbf{B} ig)$ 

• Introduciamo la forza per unità di volume

$$\mathbf{f} = 
ho (\mathbf{E} + \mathbf{v} imes \mathbf{B}) = 
ho \mathbf{E} + \mathbf{J} imes \mathbf{B}$$

• Si potrebbe procedere in modo analogo a quanto fatto per il teorema di **Poynting**  $\frac{\partial \mathbf{p}_{\text{mech}}}{\partial t} = \mathbf{F} = \int_{V} \mathbf{f} dV = \int_{V} (\rho \mathbf{E} + \mathbf{J} \times \mathbf{B}) dV$ 

$$\partial t$$
  $J_V$   $J_V$   $J_V$ 

- ullet Si introducono ho e J nell'espressione utilizzando le equazioni Maxwell
- Si elabora l'espressione utilizzando le altre equazioni e opportune identità vettoriali
  - Il calcolo è lungo e non particolarmente illuminante
    - Si può consultare Griffiths § 8.2.2



• Si giunge al risultato

$$\left(rac{\partial \mathbf{p}_{ ext{mech}}}{\partial t}
ight)_{\!i} = \oint_{\partial V} \sum_{j} T_{ij} n_{j} da - rac{\partial}{\partial t} \left(rac{1}{c^{2}} \int_{V} \mathbf{S} dV
ight)_{\!i}$$

- ullet Il primo membro è la componente i di un vettore
- ullet La quantità fra parentesi del secondo termine del secondo membro  $\dot{\mathbf{e}}$  la componente i di un vettore che rappresenta la quantità di moto del campo
  - Introduciamo la densità di quantità di moto

$$\mathbf{g} = rac{1}{c^2}\mathbf{S}$$
 Notiamo che  $\mathbf{g}$  è proporzionale al vettore di Poynting  $\mathbf{p}_{EM} = \int_V \mathbf{g} \, dV$ 

• Il primo termine nel secondo membro rappresenta il flusso di quantità di moto al secondo attraverso la superficie che delimita il volume

$$\oint_{\partial V} \sum_{j} T_{ij} n_{j} da \qquad T_{ij} = \varepsilon_{0} \bigg( E_{i} E_{j} - \frac{E^{2}}{2} \delta_{ij} \bigg) + \frac{1}{\mu_{0}} \bigg( B_{i} B_{j} - \frac{B^{2}}{2} \delta_{ij} \bigg)$$

- ullet La grandezza  $T_{ii}$  è il Tensore degli Stress di Maxwell
- L'integrale di superficie (un flusso) deve produrre un vettore
- D'altro canto il flusso è il prodotto di un vettore e la normale alla superficie
  - Per questo motivo nell'integrando compare un tensore

\*\*

 $d\mathbf{a} = \hat{\mathbf{n}} da$ 

• Esaminiamo ancora l'integrale

$$\oint_{\partial V} \sum_j T_{ij} n_j da$$

- Deve produrre tre componenti
  - Consideriamo la componente i
- ullet Consideriamo inoltre l'elemento di superficie  $d{f a}$ 
  - Attraverso questa superficie il campo contribuisce quantità di moto lungo la direzione i tramite le tre proiezioni di da nelle direzioni x, y, z
    - ullet Proiettiamo la superficie  $d{
      m a}$  nelle tre direzioni degli assi

$$d\mathbf{a} = da(\hat{n}_x \hat{\mathbf{e}}_x + \hat{n}_y \hat{\mathbf{e}}_y + \hat{n}_z \hat{\mathbf{e}}_z) = da(\hat{n}_1 \hat{\mathbf{e}}_1 + \hat{n}_2 \hat{\mathbf{e}}_2 + \hat{n}_3 \hat{\mathbf{e}}_3)$$

ullet L'integrando della componente i è pertanto

$$T_{i1}\hat{n}_1 da + T_{i2}\hat{n}_2 da + T_{i3}\hat{n}_3 da$$

• Infine scriviamo la legge di conservazione in forma differenziale

$$\left(
ho \mathbf{E} + 
ho \mathbf{v} imes \mathbf{B}
ight)_i = \left(\mathbf{f}
ight)_i = \partial_j T_{ij} - rac{\partial}{\partial t} \left(rac{\mathbf{S}}{c^2}
ight)_i \qquad \qquad \partial_j T_{ij} \equiv \sum
olimits_j \partial_j T_{ij}$$

$${\partial}_{j}T_{ij} \equiv \sum
olimits_{j} {\partial}_{j}T_{ij}$$

z

È la "divergenza" del tensore

\*\*\*

- Per meglio comprendere il significato e l'uso del tensore degli Stress di Maxwell risolviamo il seguente problema
  - ullet Consideriamo una sfera di raggio R e carica Q  $ho = rac{3Q}{4\pi R^3}$
  - Immaginiamo che la sfera sia divisa in due emisferi
    - Calcolare la forza su ciascun emisfero
- Il problema si può risolvere con metodi standard
  - ullet Sappiamo che all'interno della sfera il campo è  $\int \sin heta\cos\phi$

$$\mathbf{E} = \frac{Q}{4\pi\varepsilon_0} \frac{\mathbf{r}}{R^3} \qquad \mathbf{r} = r \begin{vmatrix} \sin\theta\cos\phi \\ \sin\theta\sin\phi\phi \end{vmatrix}$$



$$dv = r^2 \sin \theta d\phi d\theta dr$$

ullet La forza esercita sull'elemento di volume dv è

$$d\mathbf{F} = dq\mathbf{E} = \rho dv\mathbf{E}$$

• La forza totale è

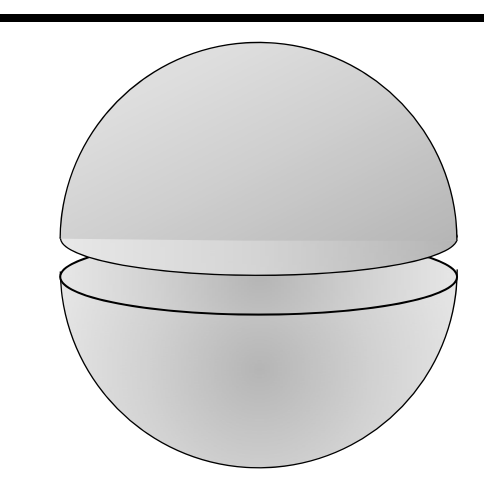
$$\mathbf{F} = \frac{\rho Q}{4\pi\varepsilon_0} \frac{1}{R^3} \int_0^R dr \int_0^{2\pi} d\phi \int_0^{\frac{\pi}{2}} \mathbf{r} r^2 \sin\theta d\theta$$

ullet Si verifica facilmente che l'unico contributo diverso da zero è  $F_z$ 

\*\*\*

• La forza è pertanto

$$F_{z} = \frac{\rho Q}{4\pi\varepsilon_{0}} \frac{1}{R^{3}} \int_{0}^{R} dr \int_{0}^{2\pi} d\phi \int_{0}^{\frac{\pi}{2}} r \cos\theta r^{2} \sin\theta d\theta$$
$$= \frac{\rho Q}{4\pi\varepsilon_{0}} \frac{1}{R^{3}} \frac{1}{4} R^{4} 2\pi \int_{0}^{1} \cos\theta d \cos\theta = \frac{\rho Q}{16\varepsilon_{0}} R$$



• In definitiva, la forza sull'emisfero superiore è

$$\mathbf{F} = \frac{3Q^2}{64\pi\varepsilon_0 R^2} \hat{\mathbf{e}}_z \qquad \qquad \rho = \frac{3Q}{4\pi R^3}$$



- ullet Bisogna calcolare il flusso di  $T_{ij}$  attraverso la superficie dell'emisfero
  - Attraverso la superficie della calotta
  - Attraverso la base della calotta –
- ullet Per brevità calcoliamo solo la componente z delle forza
  - Sappiamo già che le altre componenti sono nulle
  - Si potrebbe trarre la stessa conclusione con argomenti di simmetria

\*\*

Le componenti cartesiane del campo sono

$$\mathbf{E} = k\mathbf{r}$$

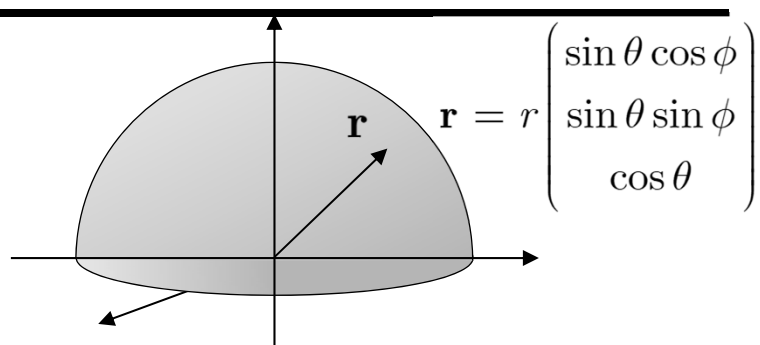
$$Q = 1$$

$$E_{r} = kr\sin\theta\cos\phi$$

$$k = \frac{Q}{4\pi\varepsilon_0} \frac{1}{R^3} \qquad E_y = kr\sin\theta\sin\phi$$
$$E = kr\cos\theta$$

$$E_{y} = kr \sin \theta \sin \phi$$

$$E_z = kr\cos\theta$$



• Scriviamo le componenti necessarie del tensore

$$T_{zx} \mathrel{/} \varepsilon_0 = E_z E_x = k^2 r^2 \sin\theta \cos\theta \cos\phi \quad T_{zy} \mathrel{/} \varepsilon_0 = E_z E_y = k^2 r^2 \sin\theta \cos\theta \sin\phi$$

$$T_{zz} / \varepsilon_0 = E_z E_z - \frac{1}{2} E^2 = k^2 r^2 \cos^2 \theta - \frac{1}{2} k^2 r^2 = \frac{1}{2} k^2 r^2 (\cos^2 \theta - \sin^2 \theta)$$

- ullet L'elemento di superficie sulla calotta sferica è  $d{f a}=R^2\sin{ heta}d\phi d heta{f \hat{r}}$ 
  - Le componenti sono

$$da_x = R^2 \sin \theta d\phi d\theta \hat{r}_x = R^2 \sin^2 \theta \cos \phi d\phi d\theta$$

$$da_y = R^2 \sin\theta d\phi d\theta \hat{r}_y = R^2 \sin^2\theta \sin\phi d\phi d\theta$$

$$da_{z} = R^{2} \sin \theta d\phi d\theta \hat{r}_{z} = R^{2} \sin \theta \cos \theta d\phi d\theta$$

ullet Il contributo alla forza della calotta  $oldsymbol{F}_c$  è pertanto

$$F_{cz}=\int T_{zx}da_x+T_{zy}da_y+T_{zz}da_z^2=\int_0^{2\pi}d\phi\int_0^{rac{\pi}{2}}d hetaarepsilon_0 k^2R^4I( heta,\phi)$$

 $I(\theta,\phi) = \sin^3\theta\cos\theta\cos^2\phi + \sin^3\theta\cos\theta\sin^2\phi + \frac{1}{2}\sin\theta\cos\theta\cos^2\theta - \frac{1}{2}\sin\theta\cos\theta\sin^2\theta$ 

\*\*

$$I( heta,\phi) = \sin^3 heta \cos heta \cos^2 \phi + \sin^3 heta \cos heta \sin^2 \phi + \frac{1}{2} \sin heta \cos heta \cos^2 heta - \frac{1}{2} \sin heta \cos heta \sin^2 heta$$

$$= \sin^3 heta \cos heta + \frac{1}{2} \sin heta \cos heta \cos^2 heta - \frac{1}{2} \sin heta \cos heta \sin^2 heta$$

$$= \frac{1}{2} \sin heta \cos heta (2 \sin^2 heta + \cos^2 heta - \sin^2 heta) = \frac{1}{2} \sin heta \cos heta$$

Pertanto

$$F_{cz}=rac{arepsilon_0}{2}k^2R^4\int_0^{2\pi}d\phi\int_0^{rac{\pi}{2}}\sin\theta\cos\theta d\theta=rac{arepsilon_0}{2}k^2R^4\pi=rac{Q^2}{32\piarepsilon_0R^2}$$

- Rimane da calcolare il contributo della superficie inferiore  $F_{bz} = \int_{-\infty}^{\infty} T_{zz} da_z$ 

  - L'elemento di superficie sulla base equatoriale è  $d{f a}=-rdr {ar d}\phi\,{\hat {f e}}$ 
    - $da_{x} = -rdrd\phi$

$$ullet$$
 Sulla superficie inferiore  $( heta=\pi/2)$ 

$$T_{zz} = rac{arepsilon_0}{2} k^2 r^2 (\cos^2 heta - \sin^2 heta) 
ightarrow T_{zz} = -rac{arepsilon_0}{2} k^2 r^2$$

$$F_{bz} = \frac{\varepsilon_0}{2} k^2 \int_0^{2\pi} d\phi \int_0^R r^3 dr = \varepsilon_0 \pi k^2 \frac{R^4}{4} = \frac{Q^2}{64\pi \varepsilon_0 R^2}$$

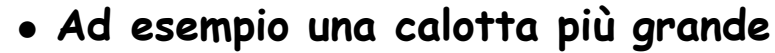
• La forza totale è

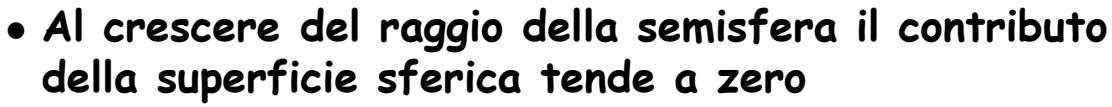
$$F_z=F_{cz}+F_{bz}=rac{3Q^2}{64\piarepsilon_0R^2}$$
 In accordo con il risultato della diapositiva 413

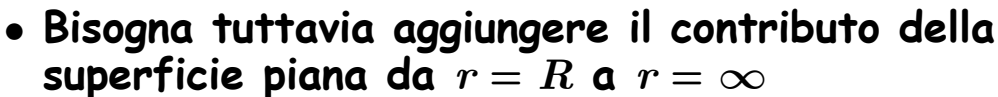
\*\*\*

- Non è obbligatorio utilizzare la superficie dell'emisfero
  - È sufficiente utilizzare una superficie che contiene la carica sulla quale vogliamo effettuare il calcolo
    - Eventualmente anche nel caso magnetico
    - Una superficie chiusa che contiene tutte le cariche e le correnti di interesse











$$F_{cz} \sim rac{Q^2}{R^2} 
ightarrow 0$$

• Per r>R il campo elettrico  ${\bf E}$  giace sulla superficie e ha modulo  $E={Q\over 4\pi\varepsilon_0}{1\over r^2}$  • La componente di  $T_{ij}$  di interesse è  $T_{zz}$ 

$$T_{zz}\,=\,\varepsilon_0 E_z E_z\,-\,\frac{\varepsilon_0}{2}\,E^2 = -\,\frac{Q^2}{32\pi^2\varepsilon_0}\,\frac{1}{r^4}\,\, \begin{array}{c} \text{L'elemento di superficie} \\ \bullet \text{ lo stesso di prima} \end{array}$$

$$da_z = -rdrd\phi$$

$$F_{ez} = \int T_{zz} da_z \ = \frac{Q^2}{32\pi^2 \varepsilon_0} \int_0^{2\pi} d\phi \int_R^{\infty} r dr \frac{1}{r^4} = \frac{Q^2}{32\pi \varepsilon_0} \frac{2\pi}{2R^2} \quad \left[ F_{ez} = \frac{Q^2}{32\pi \varepsilon_0 R^2} \right]$$

\*\*

- Riassumendo
  - ullet Il contributo del piano per r < R è

$$F_{bz} = rac{Q^2}{64\piarepsilon_0 R^2}$$

- $\bullet$  Il contributo restante del piano  $(R-\infty)$   $F_{ez} = \frac{Q^2}{32\pi\varepsilon_{\scriptscriptstyle 0}R^2}$
- Complessivamente la forza è

$$F_{z} = F_{bz} + F_{ez} = rac{Q^{2}}{64\piarepsilon_{0}R^{2}} + rac{Q^{2}}{32\piarepsilon_{0}R^{2}} = rac{3Q^{2}}{64\piarepsilon_{0}R^{2}}$$

- In accordo con il risultato precedente
- Il risultato trovato è molto importante e utile
  - Si può' calcolare la forza su un sistema complicato di cariche (e correnti) ignorandone i dettagli calcolando il flusso del tensore degli stress su una superficie chiusa arbitraria (conveniente) che racchiude tutto il sistema di interesse
- Esercizio
  - Riprodurre la forza di Coulomb fra due cariche utilizzando il tensore degli stress di Maxwell

- Le leggi che abbiamo visto generalizzano la conservazione dell'energia e della quantità di moto tenendo conto anche
  - Dell'energia del campo elettromagnetico
  - Della quantità di moto del campo elettromagnetico
- Un'onda elettromagnetica è un campo elettromagnetico
  - ullet Consideriamo un'onda piana monocromatica con polarizzazione lineare  $\hat{\mathbf{n}}$  (392)

$$\mathbf{E} = E_0 \cos(\mathbf{k} \cdot \mathbf{r} - \omega t) \hat{\mathbf{n}} \quad \mathbf{B} = \frac{1}{c} E_0 \cos(\mathbf{k} \cdot \mathbf{r} - \omega t) \hat{\mathbf{k}} \times \hat{\mathbf{n}}$$

- Trasporta energia e quantità di moto
- Calcoliamo la densità di energia

• Calcolismo la densità di energia 
$$u_{EM} = \frac{1}{2} \varepsilon_0 E^2 + \frac{1}{2\mu_0} B^2 = \frac{1}{2} \varepsilon_0 E_0^2 \cos^2\left(\mathbf{k} \cdot \mathbf{r} - \omega t\right) + \frac{1}{2\mu_0 c^2} E_0^2 \cos^2\left(\mathbf{k} \cdot \mathbf{r} - \omega t\right)$$
 
$$\frac{1}{\mu_0 c^2} = \varepsilon_0 \qquad \Longrightarrow \qquad u_{EM} = \varepsilon_0 E_0^2 \cos^2\left(\mathbf{k} \cdot \mathbf{r} - \omega t\right)$$

- Osserviamo che in un'onda polarizzata linearmente i contributi del campo elettrico e del campo magnetico sono uguali Per onda con polarizzazione circolare sono diversi
- L'energia dell'onda varia nello spazio e nel tempo ed è trasportata nello spazio-tempo
- Il vettore di Poynting descrive il flusso di energia

- Calcoliamo il vettore di Poynting dell'onda piana con polarizzazione lineare
  - Ricordiamo che le sue dimensioni sono energia per secondo per metro quadrato

$$\mathbf{E} = E_0 \cos(\mathbf{k} \cdot \mathbf{r} - \omega t) \hat{\mathbf{n}} \qquad \mathbf{B} = \frac{1}{c} E_0 \cos(\mathbf{k} \cdot \mathbf{r} - \omega t) \hat{\mathbf{k}} \times \hat{\mathbf{n}}$$

$$\mathbf{S} = \frac{1}{\mu_0} \mathbf{E} \times \mathbf{B} = \frac{1}{\mu_0 c^2} c E_0^2 \cos^2(\mathbf{k} \cdot \mathbf{r} - \omega t) \hat{\mathbf{n}} \times \hat{\mathbf{k}} \times \hat{\mathbf{n}}$$

$$\hat{\mathbf{n}} \times \hat{\mathbf{k}} \times \hat{\mathbf{n}} = \hat{\mathbf{k}} (\hat{\mathbf{n}} \cdot \hat{\mathbf{n}}) - \hat{\mathbf{n}} (\hat{\mathbf{k}} \cdot \hat{\mathbf{n}}) = \hat{\mathbf{k}}$$

$$\mathbf{S} = \varepsilon_0 E_0^2 \cos^2(\mathbf{k} \cdot \mathbf{r} - \omega t) c\hat{\mathbf{k}}$$

$$\left|\mathbf{S}=arepsilon_{0}^{2}E_{0}^{2}\cos^{2}\left(\mathbf{k}\cdot\mathbf{r}-\omega t
ight)c\hat{\mathbf{k}}
ight|$$

• In definitiva

$$\mathbf{S} = u_{EM} c \hat{\mathbf{k}}$$

La densità di quantità di moto associata con l'onda è data da

$$oxed{\mathbf{g} = rac{1}{c^2} \mathbf{S} \ = rac{u_{EM}}{c} \hat{\mathbf{k}}}$$

- Nel caso di un'onda di luce abbiamo visto che le frequenze sono molto elevate
  - ullet Frequenze dell'ordine di  $u\sim 10^{16}~{
    m Hz}$ , lunghezze d'onda  $\lambda\sim 10^{-7}~{
    m m}$
  - Tipiche misure macroscopiche sono medie nel tempo su molti cicli dell'onda
    - Ad esempio, l'occhio umano fa medie in tempi dell'ordine di  $\max_{}$   $\frac{1}{T}\int_{0}^{T}u(t)dt$

    - Ricordiamo che

• Infatti

$$\frac{1}{T} \int_0^T \sin^2 \frac{2\pi t}{T} dt = \frac{1}{T} \int_0^T \cos^2 \frac{2\pi t}{T} dt = \frac{1}{2}$$
$$\frac{1}{2\pi} \int_0^{2\pi} \sin^2 t dt = \frac{1}{2\pi} \int_0^{2\pi} \cos^2 t dt = a$$

$$2a = \frac{1}{2\pi} \int_0^{2\pi} \left[ \sin^2 t + \cos^2 t \right] dt = \frac{1}{2\pi} \int_0^{2\pi} 1 dt = \frac{1}{2\pi} 2\pi = 1 \qquad a = \frac{1}{2}$$

• Otteniamo pertanto

$$\left\langle u_{\scriptscriptstyle EM} \right
angle = rac{1}{2} arepsilon_0 E_0^2 \qquad \left\langle \mathbf{S} \right
angle = rac{1}{2} arepsilon_0 E_0^2 c \hat{\mathbf{k}} \qquad \left\langle \mathbf{g} 
ight
angle = rac{1}{2c} arepsilon_0 E_0^2 \hat{\mathbf{k}}$$

• Si definisce intensità dell'onda (energia per unità di superficie per secondo)

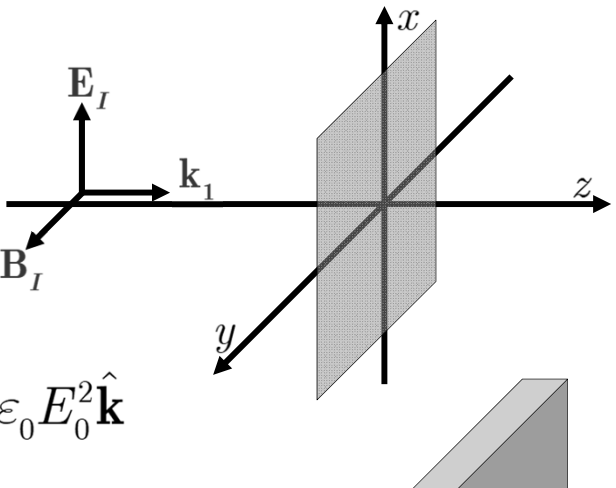
 $\begin{array}{|c|c|c|c|c|c|}\hline \text{NB: Polarizzazione} & I = \left\langle S \right\rangle = \frac{1}{2} \varepsilon_0 E_0^2 c & \left[ I \right] = \mathrm{Jm}^{-2} \mathrm{s}^{-1} \end{array}$ 

- Supponiamo che un'onda elettromagnetica incida su una superficie perfettamente assorbente
  - La radiazione elettromagnetica assorbita trasferisce quantità di moto alla superficie
    - Calcoliamo la quantità di moto contenuta in un parallelepipedo di area A e spessore cdt

$$egin{align} d\mathbf{p} &= \left\langle \mathbf{g} 
ight
angle A c dt & \left\langle \mathbf{g} 
ight
angle &= rac{1}{2c} arepsilon_0 E_0^2 \hat{\mathbf{k}} \ d\mathbf{p} &= rac{1}{2c} arepsilon_0 E_0^2 \hat{\mathbf{k}} A c dt &= rac{1}{2} arepsilon_0 E_0^2 \hat{\mathbf{k}} A dt \end{aligned}$$

- ullet La forza sulla superficie A è  $\mathbf{F}=rac{d\mathbf{p}}{dt}=rac{1}{2}arepsilon_0 E_0^2\hat{\mathbf{k}}A$
- La pressione è la forza per unità di superficie

$$rac{F}{A} = rac{1}{2} arepsilon_0 E_0^2$$
 Pressione di radiazione



cdt

A

- Calcoliamo la pressione di radiazione della luce solare su una superficie perfettamente assorbente
  - $\bullet$  La potenza della luce solare incidente sulla superficie della terra è circa  $1300~W/m^2$ 
    - ullet Questa è l'intensità dell'onda  $I=1300~
      m J~m^{-2}\,s^{-1}$
    - Supponiamo che sia un'onda piana con polarizzazione lineare

$$I = \left\langle S \right\rangle = rac{1}{2} \, arepsilon_0 E_0^2 c \qquad \qquad rac{F}{A} = rac{1}{2} \, arepsilon_0 E_0^2 \ = rac{I}{c}$$

• La pressione di radiazione è

$$\frac{F}{A} = \frac{1.3 \cdot 10^3}{3 \cdot 10^8} = 4.3 \times 10^{-6} \,\mathrm{N/m^2}$$

- ullet Confrontiamo con la pressione atmosferica  $\dfrac{F}{A}=1.05 imes10^5~\mathrm{N/m^2}$
- ullet La pressione di radiazione è pertanto  $4.3 imes 10^{-11} \mathrm{\ atm}$  ( molto piccola)

### Propagazione nella materia

• In assenza di cariche e correnti libere, le equazioni di Maxwell nella materia assumono la forma (vedi diapositiva 370)

$$\mathbf{D} = arepsilon \mathbf{E} = arepsilon_r arepsilon_0 \mathbf{E} \qquad \mathbf{H} = rac{1}{\mu} \mathbf{B} = rac{1}{\mu_r \mu_0} \mathbf{B}$$

• All'interno di ciascun mezzo avremo

$$\mathbf{\nabla} \cdot \mathbf{E} = 0$$
  $\mathbf{\nabla} \times \mathbf{B} = \mu \varepsilon \frac{\partial \mathbf{E}}{\partial t}$ 

- Naturalmente nel passaggio da un mezzo all'altro bisogna tenere conto delle discontinuità dei campi
- Da un punto di vista matematico l'unica differenza con le equazioni nel vuoto (senza materia) è avere sostituito le costanti  $\mu_0$  e  $arepsilon_0$  con  $\mu$  e arepsilon
  - ullet Le soluzioni saranno onde che viaggiano con velocità v diversa da c

$$v = \frac{1}{\sqrt{\varepsilon \mu}} = \frac{1}{\sqrt{\varepsilon_r \varepsilon_0 \mu_r \mu_0}} = \frac{c}{\sqrt{\varepsilon_r \mu_r}} = \frac{c}{n} \qquad n = \sqrt{\varepsilon_r \mu_r}$$

- ullet La costante n è l'indice di rifrazione della sostanza
  - ullet Per molte sostanze  $\mu_rpprox 1$  e l'indice di rifrazione è determinato solo da  $arepsilon_r$
  - ullet La "costante"  $arepsilon_r$  dipende molto dalla frequenza

### Propagazione nella materia

• Il vettore di Poynting diventa

$$\mathbf{S} = \mathbf{E} imes \mathbf{H} = rac{1}{\mu} \mathbf{E} imes \mathbf{B}$$

- Nelle onde piane monocromatiche la frequenza  $\omega$  e il vettore d'onda k sono legate tramite la velocità dell'onda nel mezzo:  $\omega=kv$
- ullet I campi old E e old B sono legati anch'essi tramite v

$$E = \frac{1}{v}B$$

• Per finire l'intensità dell'onda è data da (polarizzazione lineare)

$$I = \frac{1}{2} \varepsilon v E_0^2$$

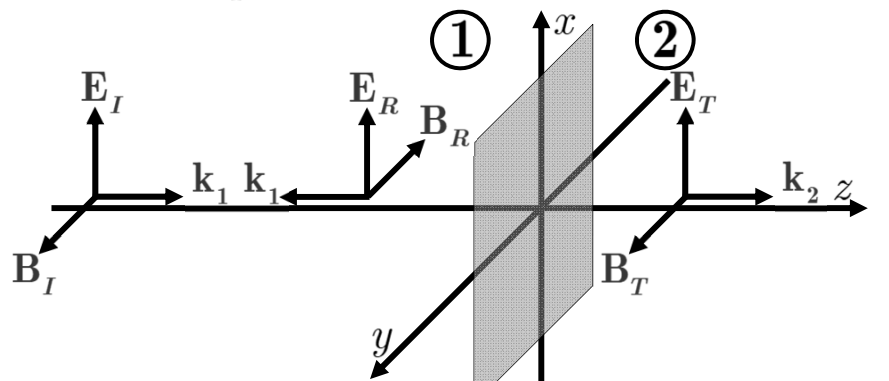
- Studiamo adesso la propagazione di un'onda piana che attraversa il confine fra due mezzi lineari caratterizzati da costanti  $\varepsilon_1,\,\mu_1$  e  $\varepsilon_2,\,\mu_2$ 
  - Si formano un'onda trasmessa e un'onda riflessa
    - Studieremo il fenomeno per incidenza normale e incidenza obliqua
    - Saranno necessarie le condizioni all'interfaccia (vedi diapositiva 370)

$$egin{aligned} arepsilon_1 E_{1\perp} &= arepsilon_2 E_{2\perp} & \qquad \mathbf{E}_{1\parallel} &= \mathbf{E}_{2\parallel} & \qquad B_{1\perp} &= B_{2\perp} & \qquad rac{1}{\mu_1} \mathbf{B}_{1\parallel} &= rac{1}{\mu_2} \mathbf{B}_{2\parallel} \end{aligned}$$

- ullet Supponiamo che l'interfaccia fra il mezzo 1 e il mezzo 2 sia il piano z=0
  - ullet Le velocità di propagazione nei due mezzi sono  $v_1$  e  $v_2$

$$\tilde{\mathbf{E}}_{I}\left(z,t\right) = \hat{\mathbf{e}}_{x}\tilde{E}_{0I}e^{i\left(\omega t - k_{1}z\right)}$$

$$ilde{\mathbf{B}}_{I}\left(z,t
ight)=\hat{\mathbf{e}}_{y}rac{1}{v_{1}} ilde{E}_{0I}e^{i\left(\omega t-k_{1}z
ight)}$$
 $\mathbf{B}_{I}$ 



- ullet Un'onda piana I viaggia nel senso positivo dell'asse z incide sul piano z=0
  - ullet Sono generate un'onda riflessa R e un'onda trasmessa T

$$\tilde{\mathbf{E}}_{R}\left(z,t\right) = \hat{\mathbf{e}}_{x}\tilde{E}_{0R}e^{i\left(\omega t + k_{1}z\right)}$$

• Sono generate un'onda riflessa 
$$R$$
 e un'onda trasmessa  $T$  
$$\tilde{\mathbf{E}}_{R}\left(z,t\right) = \hat{\mathbf{e}}_{x}\tilde{E}_{0R}e^{i(\omega t+k_{1}z)} \qquad \tilde{\mathbf{B}}_{R}\left(z,t\right) = -\hat{\hat{\mathbf{e}}}_{y}\frac{1}{v_{1}}\tilde{E}_{0R}e^{i(\omega t+k_{1}z)} \qquad \mathbf{E} = -\frac{1}{v}\hat{\mathbf{k}}\times\mathbf{E}$$
 vedi 392

$$\tilde{\mathbf{E}}_{\scriptscriptstyle T}\left(z,t\right) = \hat{\mathbf{e}}_{\scriptscriptstyle x} \tilde{E}_{\scriptscriptstyle 0T} e^{i\left(\omega t - k_{\scriptscriptstyle 2} z\right)}$$

$$ilde{\mathbf{E}}_{T}\left(z,t
ight)=\hat{\mathbf{e}}_{x} ilde{E}_{0T}e^{i\left(\omega t-k_{2}z
ight)}\qquad ilde{\mathbf{B}}_{T}\left(z,t
ight)=\hat{\mathbf{e}}_{y}\,rac{1}{v_{2}} ilde{E}_{0T}e^{i\left(\omega t-k_{2}z
ight)}$$

- Abbiamo utilizzato la stessa frequenza per le tre onde
  - Vedremo che l'uguaglianza è conseguenza delle condizioni all'interfaccia
- ullet Abbiamo visto che i moduli dei vettori  ${f k}$  sono legati alle frequenze:  $\omega=kv$

 Nella regione 1 il campo elettromagnetico totale è dato da

$$ilde{\mathbf{E}}_{_{1}} = ilde{\mathbf{E}}_{_{I}} + ilde{\mathbf{E}}_{_{R}} \qquad ilde{\mathbf{B}}_{_{1}} = ilde{\mathbf{B}}_{_{I}} + ilde{\mathbf{B}}_{_{R}}$$

 $ilde{\mathbf{E}}_1 = ilde{\mathbf{E}}_I + ilde{\mathbf{E}}_R \qquad ilde{\mathbf{B}}_1 = ilde{\mathbf{B}}_I + ilde{\mathbf{B}}_R \qquad \qquad ilde{\mathbf{E}}_1 = ilde{\mathbf{k}}_1 \, ext{k}_1 \, ext{k}_1 \, ext{k}_2$  Jella regione 2 il campo • Nella regione 2 il campo elettromagnetico è dato da  ${
m E}_2={
m E}_T$  e  ${
m B}_2={
m B}_T$ 

• Imponiamo le condizioni all'interfaccia per z=0

- Le condizioni sulle componenti normali sono banali dato che queste sono nulle
  - ullet Esaminiamo la condizione su  ${f E}_{||}$  e consideriamo le frequenze diverse

$$\begin{split} \mathbf{E}_{1\parallel} \left( 0,t \right) &= \mathbf{E}_{2\parallel} \left( 0,t \right) \Longrightarrow \hat{\mathbf{e}}_{x} \tilde{E}_{0I} e^{i(\omega t - k_{1}z)} + \hat{\mathbf{e}}_{x} \tilde{E}_{0R} e^{i(\omega' t + k_{1}z)} = \hat{\mathbf{e}}_{x} \tilde{E}_{0T} e^{i(\omega'' t - k_{2}z)} \\ z &= 0 \qquad \Longrightarrow \quad \tilde{E}_{0I} e^{i\omega t} + \tilde{E}_{0R} e^{i\omega' t} = \tilde{E}_{0T} e^{i\omega'' t} \end{split}$$

• Esiste una soluzione non nulla solo se le tre frequenze sono uguali

$$\omega = \omega' = \omega''$$
 $\tilde{E}_{0I} + \tilde{E}_{0R} = \tilde{E}_{0T}$ 

ullet La condizione su  $B_{||}$  è

$$\frac{1}{\mu_{1}}\mathbf{B}_{1\parallel} = \frac{1}{\mu_{2}}\mathbf{B}_{2\parallel} \qquad \longrightarrow \qquad \frac{1}{\mu_{1}} \left( \frac{1}{v_{1}}\tilde{E}_{0I} - \frac{1}{v_{1}}\tilde{E}_{0R} \right) = \frac{1}{\mu_{2}v_{2}}\tilde{E}_{0T}$$

$$\frac{1}{\mu_{1}} \left( \frac{1}{v_{1}} \tilde{E}_{0I} - \frac{1}{v_{1}} \tilde{E}_{0R} \right) = \frac{1}{\mu_{2} v_{2}} \tilde{E}_{0T} \qquad \tilde{E}_{0I} - \tilde{E}_{0R} = \frac{\mu_{1} v_{1}}{\mu_{2} v_{2}} \tilde{E}_{0T} \qquad \beta = \frac{\mu_{1} v_{1}}{\mu_{2} v_{2}} \tilde{E}$$

Risolviamo il sistema

$$egin{align} ilde{E}_{0I} + ilde{E}_{0R} &= ilde{E}_{0T} \ ilde{E}_{0I} - ilde{E}_{0R} &= ilde{E}_{0T} \ ilde{E}_{0R} &= ilde{E}_{0T} & ilde{E}_{0T} &= rac{2}{1+eta} ilde{E}_{0I} \ ilde{E}_{0R} &= ilde{E}_{0R} &= ilde{E}_{0I} \ ilde{E}_{0R} &= ilde{E}_{0R} - ilde{E}_{0I} \ ilde{E}_{0R} &= rac{1-eta}{1+eta} ilde{E}_{0I} \ ilde{E}_{0R} \ ilde{E}_{0R} &= rac{1-eta}{1+eta} ilde{E}_{0I} \ ilde{E}_{0R} \ ilde{$$

- ullet Per la maggior parte delle sostanze  $\mu_{
  m r}=\mu/\mu_0$  è praticamente uguale a 1
  - In tal caso

$$eta = rac{v_1}{v_2} = rac{n_2}{n_1} \qquad ilde{E}_{0T} = rac{2v_2}{v_1 + v_2} ilde{E}_{0I} \qquad ilde{E}_{0T} = rac{2n_1}{n_1 + n_2} ilde{E}_{0I} \ ilde{E}_{0R} = rac{v_2 - v_1}{v_1 + v_2} ilde{E}_{0I} \qquad ilde{E}_{0R} = rac{n_1 - n_2}{n_1 + n_2} ilde{E}_{0I} \ ilde{E}_{0R} = rac{n_1 - n_2}{n_1 + n_2} ilde{E}_{0I} \ ilde{E}_{0R} = rac{n_1 - n_2}{n_1 + n_2} ilde{E}_{0I} \ ilde{E}_{0R} = rac{n_1 - n_2}{n_1 + n_2} ilde{E}_{0I} \ ilde{E}_{0R} = rac{n_1 - n_2}{n_1 + n_2} ilde{E}_{0I} \ ilde{E}_{0R} = rac{n_1 - n_2}{n_1 + n_2} ilde{E}_{0I} \ ilde{E}_{0R} = rac{n_1 - n_2}{n_1 + n_2} ilde{E}_{0I} \ ilde{E}_{0R} = rac{n_1 - n_2}{n_1 + n_2} ilde{E}_{0I} \ ilde{E}_{0R} = rac{n_1 - n_2}{n_1 + n_2} ilde{E}_{0I} \ ilde{E}_{0R} = rac{n_1 - n_2}{n_1 + n_2} ilde{E}_{0I} \ ilde{E}_{0R} = rac{n_1 - n_2}{n_1 + n_2} ilde{E}_{0I} \ ilde{E}_{0R} = rac{n_1 - n_2}{n_1 + n_2} ilde{E}_{0I} \ ilde{E}_{0R} = rac{n_1 - n_2}{n_1 + n_2} ilde{E}_{0I} \ ilde{E}_{0R} = rac{n_1 - n_2}{n_1 + n_2} ilde{E}_{0I} \ ilde{E}_{0R} = rac{n_1 - n_2}{n_1 + n_2} ilde{E}_{0I} \ ilde{E}_{0R} = rac{n_1 - n_2}{n_1 + n_2} ilde{E}_{0I} \ ilde{E}_{0R} = rac{n_1 - n_2}{n_1 + n_2} ilde{E}_{0I} \ ilde{E}_{0I} \ ilde{E}_{0R} = rac{n_1 - n_2}{n_1 + n_2} ilde{E}_{0I} \ ilde{E}_{0R} = rac{n_1 - n_2}{n_1 + n_2} ilde{E}_{0I} \ ilde{E}_{0R} = rac{n_1 - n_2}{n_1 + n_2} ilde{E}_{0R} = rac{n_1 - n_2}{n_1 + n_2} ilde{E}_{0I} \ ilde{E}_{0R} = rac{n_1 - n_2}{n_1 + n_2} ilde{E}_{0I} \ ilde{E}_{0R} = rac{n_1 - n_2}{n_1 + n_2} ilde{E}_{0I} \ ilde{E}_{0R} = rac{n_1 - n_2}{n_1 + n_2} ilde{E}_{0I} \ ilde{E}_{0R} = rac{n_1 - n_2}{n_1 + n_2} ilde{E}_{0I} \ ilde{E}_{0R} = rac{n_1 - n_2}{n_1 + n_2} ilde{E}_{0I} \ ilde{E}_{0I}$$

- Calcoliamo adesso le intensità (assumendo polarizzazione lineare)
  - Ricordiamo la relazione che lega l'intensità all'ampiezza

$$I=rac{1}{2}arepsilon vE_{0}^{2}$$

$$I_{I} = rac{1}{2} \, arepsilon_{\scriptscriptstyle 1} v_{\scriptscriptstyle 1} ig| ilde{E}_{\scriptscriptstyle 0I} ig|^2 = rac{1}{2} \, arepsilon_{\scriptscriptstyle 1} v_{\scriptscriptstyle 1} E_{\scriptscriptstyle 0}^2$$

$$I_{R} = rac{1}{2}arepsilon_{1}v_{1}ig| ilde{E}_{0R}ig|^{2} = rac{1}{2}arepsilon_{1}v_{1}igg(rac{n_{1}-n_{2}}{n_{1}+n_{2}}igg)^{2}E_{0}^{2}$$

$$I_T=rac{1}{2}arepsilon_2 v_2 \left| ilde{E}_{0T}
ight|^2=rac{1}{2}arepsilon_2 v_2 \left(rac{2n_1}{n_1+n_2}
ight)^2 E_0^2$$
• Se  $n_1=n_2$ 
• Non c'è onda riflessa
• Tutta l'onda è trasme

- - Tutta l'onda è trasmessa
- Definiamo i coefficienti di riflessione e trasmissione

$$R = rac{I_R}{I_I} = rac{rac{1}{2} arepsilon_1 v_1 \left(rac{n_1 - n_2}{n_1 + n_2}
ight)^2 E_0^2}{rac{1}{2} arepsilon_1 v_1 E_0^2} = \left(rac{n_1 - n_2}{n_1 + n_2}
ight)^2 \qquad \qquad rac{n pprox 2}{v = rac{2}{n_1} v_1 E_0^2}$$

$$T = \frac{I_T}{I_I} = \frac{\varepsilon_2 v_2}{\varepsilon_1 v_1} \left(\frac{2n_1}{n_1 + n_2}\right)^2 = \frac{n_2}{n_1} \left(\frac{2n_1}{n_1 + n_2}\right)^2 = \frac{4n_1 n_2}{\left(n_1 + n_2\right)^2} \qquad R + T = 1$$

- Trattiamo adesso il problema della riflessione di un'onda nel caso in cui il vettore d'onda formi un angolo con la normale alla superficie
  - L'onda incidente

Tonda formi un angolo con la normale alla superficie L'onda incidente 
$$\tilde{\mathbf{E}}_I\left(\mathbf{r},t\right)=\tilde{\mathbf{E}}_{0I}e^{i(\omega t-\mathbf{k}_I\cdot\mathbf{r})}\quad \tilde{\mathbf{B}}_I\left(\mathbf{r},t\right)=\frac{1}{v_1}\hat{\mathbf{k}}_I\times\tilde{\mathbf{E}}_{0I}$$
 
$$\mathbf{k}_R$$

• L'onda riflessa

$$ilde{\mathbf{E}}_{R}\left(\mathbf{r},t
ight)= ilde{\mathbf{E}}_{0R}e^{i\left(\omega t-\mathbf{k}_{R}\cdot\mathbf{r}
ight)}$$
  $ilde{\mathbf{B}}_{R}\left(\mathbf{r},t
ight)=rac{1}{v_{1}}\hat{\mathbf{k}}_{R} imes ilde{\mathbf{E}}_{0R}$ 

L'onda trasmessa

L'onda trasmessa 
$$\tilde{\mathbf{E}}_{T}\left(\mathbf{r},t\right)=\tilde{\mathbf{E}}_{0T}e^{i\left(\omega t-\mathbf{k}_{T}\cdot\mathbf{r}\right)}\quad \tilde{\mathbf{B}}_{T}\left(\mathbf{r},t\right)=\frac{1}{v_{2}}\hat{\mathbf{k}}_{T}\times\tilde{\mathbf{E}}_{0T}$$

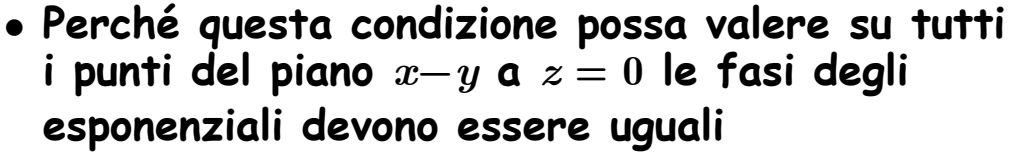
- Come abbiamo visto nel caso precedente tutte e tre le onde hanno la stessa frequenza angolare  $\omega$
- I tre vettori d'onda, esplicitamente indicati, sono legati alle freguenze e alle velocità di propagazione

ità di propagazione 
$$k_Iv_1=k_Rv_1=k_Tv_2=\omega \qquad \qquad k_I=k_R=\frac{v_2}{v_1}k_T=\frac{n_1}{n_2}k_T$$

raccordati ai campi  $\mathbf{E}_T$  e  $\mathbf{B}_T$  nella regione 2 tramite le condizioni all'interfaccia

• La forma generica delle condizioni all'interfaccia è

$$\begin{pmatrix} e^{i(\omega t - \mathbf{k}_I \cdot \mathbf{r} - \omega t)} + \begin{pmatrix} e^{i(\omega t - \mathbf{k}_R \cdot \mathbf{r})} = \begin{pmatrix} e^{i(\omega t - \mathbf{k}_T \cdot \mathbf{r})} \end{pmatrix}$$



- ullet I termini dipendenti da t  $(i\omega t)$  si semplificano
- Avremo pertanto (per z=0)

$$\mathbf{k}_{_{I}}\cdot\mathbf{r}=\mathbf{k}_{_{R}}\cdot\mathbf{r}=\mathbf{k}_{_{T}}\cdot\mathbf{r}$$

• Esplicitamente

$$xk_{Ix} + yk_{Iy} = xk_{Rx} + yk_{Ry} = xk_{Tx} + yk_{Ty}$$

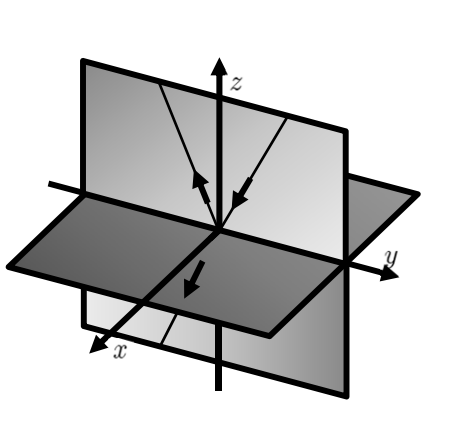
- ullet Queste relazioni devono valere per qualunque valore di x e di y
  - In particulare per y=0

$$xk_{Ix} = xk_{Rx} = xk_{Tx}$$
  $\longrightarrow$   $k_{Ix} = k_{Rx} = k_{Tx}$ 

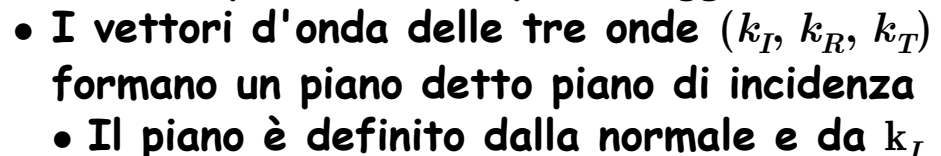
ullet E per x=0

$$yk_{Iy} = yk_{Ry} = yk_{Ty}$$
  $\longrightarrow$   $k_{Iy} = k_{Ry} = k_{Ty}$ 

- Il significato di queste relazioni è che le componenti trasversali (rispetto a  $\hat{\mathbf{e}}_z$ ) dei tre vettori d'onda sono uguali
  - Pertanto i tre vettori giacciono sullo stesso piano



• Arriviamo pertanto alla prima legge dell'ottica geometrica



ullet Per fissare le idee supponiamo che il piano di incidenza sia il piano  $y\!-\!z$ 

ullet Significa che  $k_{Ix}=\,k_{Rx}=\,k_{Tx}=\,0$ 

Abbiamo visto che

$$k_{Iy} = k_{Ry} = k_{Ty}$$

• Significa che

$$k_I \sin \theta_I = k_R \sin \theta_R$$
  $\implies$   $\sin \theta_I = \sin \theta_R$ 

• Abbiamo trovato la seconda legge (della riflessione)

ullet L'angolo di incidenza  $heta_I$  è uguale all'angolo di riflessione  $heta_R$ 

• Inoltre abbiamo

$$k_{I}\sin heta_{I}=k_{T}\sin heta_{T}$$
  $rac{k_{I}}{k_{T}}=rac{\sin heta_{T}}{\sin heta_{I}}$   $rac{\sin heta_{T}}{\sin heta_{I}}=rac{\omega}{v_{I}}$  /  $rac{\omega}{v_{T}}=rac{v_{T}}{v_{I}}=rac{n_{I}}{n_{T}}$ 

• Troviamo quindi la terza legge o legge di Snell

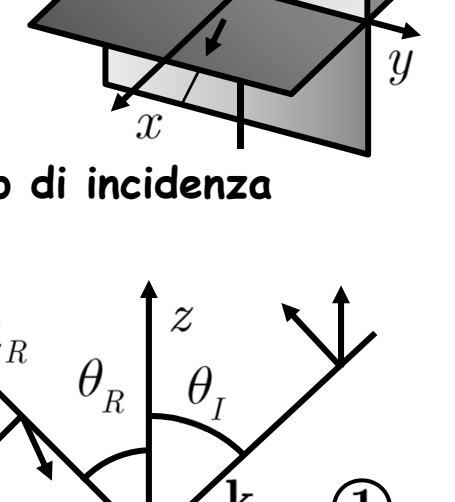
• Nota anche come legge della rifrazione

$$\frac{\sin\theta_{\scriptscriptstyle T}}{\sin\theta_{\scriptscriptstyle I}} = \frac{n_{\scriptscriptstyle I}}{n_{\scriptscriptstyle T}}$$

- Abbiamo trovato le tre leggi fondamentali dell'ottica geometrica
  - Non abbiamo ancora utilizzato le condizioni all'interfaccia
    - Le condizioni che abbiamo trovato assicurano che gli esponenziali si semplificano
  - ullet Senza ledere la generalità della trattazione possiamo orientare il piano di incidenza nel piano  $y\!-\!z$



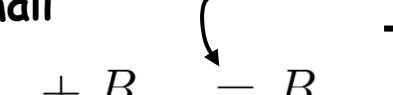
- E può giacere sul piano di incidenza
- E può essere perpendicolare al piano di incidenza
  - Una polarizzazione arbitraria può essere ottenuta come una combinazione delle due indicate
- ullet Trattiamo solo il caso in cui il campo  $\mathbf{E}_I$  giace nel piano di incidenza
  - ullet Si può dimostrare che anche  $\mathbf{E}_R$  e  $\mathbf{E}_T$  giacciono sul piano di incidenza
    - $\bullet$  Notiamo che nel caso dell'incidenza obliqua i campi elettrici E hanno una componente normale alla superficie
  - ullet I campi B sono perpendicolari al piano di incidenza
    - ullet Hanno solo componente lungo l'asse  $x o B_z=B_y=0$

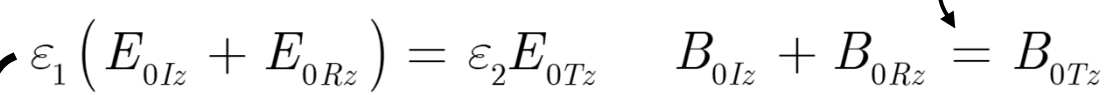


- Scriviamo le condizioni al contorno
  - Ricordiamo che nell'onda piana

viamo le condizioni al conforno cordiamo che nell'onda piana 
$$\mathbf{B} = \frac{1}{v}\hat{\mathbf{k}} \times \mathbf{E} \qquad B = \frac{1}{v}E$$
 banale.  $B_z = \mathbf{0}$  iziamo con le componenti normali

ullet Iniziamo con le componenti normali ullet





• Per le componenti tangenziali

$$\mathbf{E}_{0I\parallel} + \mathbf{E}_{0R\parallel} = \mathbf{E}_{0T\parallel} \qquad \frac{1}{\mu_1} ig( \mathbf{B}_{0I\parallel} + \mathbf{B}_{0R\parallel} ig) = \frac{1}{\mu_2} \mathbf{B}_{0T\parallel} \qquad \mathbf{k}_T ig( \theta_T ig)$$

- Queste ultime equazioni sono in realtà quattro (in generale)
  - ullet Due componenti (x, y) per ogni campo
- ullet Proiettiamo sull'asse z i campi  ${
  m E}$ . La prima equazione diventa

$$\sum \varepsilon_{1} \left( E_{0I} \sin \theta_{I} - E_{0R} \sin \theta_{R} \right) = \varepsilon_{2} E_{0T} \sin \theta_{T}$$

- La terza equazione  $E_{0I}\cos heta_I+E_{0R}\cos heta_R=E_{0T}\cos heta_T$  Proiezione lungo y
- Per finire la quarta equazione

$$\frac{1}{\mu_1 v_1} \big(E_{0I} - E_{0R} \, \big) = \frac{1}{\mu_2 v_2} E_{0T} \qquad \text{Proiezione lungo } x$$

 $\bullet$  Riassumendo  $\varepsilon_{\!_1} \big( E_{0I} \sin \theta_{\!_I} - E_{0R} \sin \theta_{\!_R} \big) = \varepsilon_{\!_2} E_{0T} \sin \theta_{\!_T}$ 

$$E_{0I}\cos\theta_{I} + E_{0R}\cos\theta_{R} = E_{0T}\cos\theta_{T} \qquad \frac{1}{\mu_{1}v_{1}}(E_{0I} - E_{0R}) = \frac{1}{\mu_{2}v_{2}}E_{0T}$$

- La prima equazione è equivalente all'ultima
  - Infatti per le leggi della riflessione

$$\sin \theta_I = \sin \theta_R$$
  $\frac{\sin \theta_T}{\sin \theta_I} = \frac{v_2}{v_1}$   $\varepsilon_1 = \frac{1}{\mu_1 v_1^2}$   $\varepsilon_2 = \frac{1}{\mu_2 v_2^2}$ 

$$E_{0I} - E_{0R} = rac{arepsilon_2}{arepsilon_1} E_{0T} rac{\sin heta_T}{\sin heta_I} = rac{\mu_1 v_1^2}{\mu_2 v_2^2} E_{0T} rac{v_2}{v_1} \qquad \qquad E_{0I} - E_{0R} = rac{\mu_1 v_1}{\mu_2 v_2} E_{0T}$$

• In definitiva abbiamo due equazioni

$$\beta = \frac{\mu_{\scriptscriptstyle 1} v_{\scriptscriptstyle 1}}{\mu_{\scriptscriptstyle 2} v_{\scriptscriptstyle 2}} \quad \alpha = \frac{\cos \theta_{\scriptscriptstyle T}}{\cos \theta_{\scriptscriptstyle I}}$$

$$E_{0I} - E_{0R} = \beta E_{0T}$$
  $E_{0I} + E_{0R} = E_{0T} \frac{\cos \theta_T}{\cos \theta_I} = \alpha E_{0T}$ 

• Risolviamo il sistema

$$\begin{cases} E_{0I} + E_{0R} = \alpha E_{0T} \\ E_{0I} - E_{0R} = \beta E_{0T} \end{cases}$$

 $\alpha = \frac{\cos \theta_T}{\cos \theta_I}$ 

$$\beta = \frac{\mu_{\scriptscriptstyle 1} v_{\scriptscriptstyle 1}}{\mu_{\scriptscriptstyle 2} v_{\scriptscriptstyle 2}}$$

 $2E_{0I} = (\alpha + \beta)E_{0T}$ 

$$E_{0T} = \frac{2}{\alpha + \beta} E_{0I}$$

$$E_{0R} = \frac{\alpha - \beta}{\alpha + \beta} E_{0I}$$

• Sostituiamo nella seconda

$$E_{0R} = E_{0I} - \beta E_{0T}$$

- Le due soluzioni trovate sono note come equazioni di Fresnel quando la polarizzazione giace sul piano di incidenza
  - ullet Notiamo che per  $heta_I=0$  anche  $heta_T=0$  e lpha=1
    - Ritroviamo le leggi della incidenza normale
  - Notiamo inoltre che l'ampiezza delle onde riflessa e trasmessa dipende dall'angolo di incidenza

$$\alpha = \frac{\cos\theta_{\scriptscriptstyle T}}{\cos\theta_{\scriptscriptstyle I}} = \frac{\sqrt{1-\sin^2\theta_{\scriptscriptstyle T}}}{\cos\theta_{\scriptscriptstyle I}} = \frac{\sqrt{1-\left(n_{\scriptscriptstyle 1} \ / \ n_{\scriptscriptstyle 2}\sin\theta_{\scriptscriptstyle I}\right)^2}}{\cos\theta_{\scriptscriptstyle I}} = f\left(\theta_{\scriptscriptstyle I}\right)$$

ullet Per  $heta_I o \pi/2$  abbiamo  $lpha o \infty$  e l'onda viene completamente riflessa

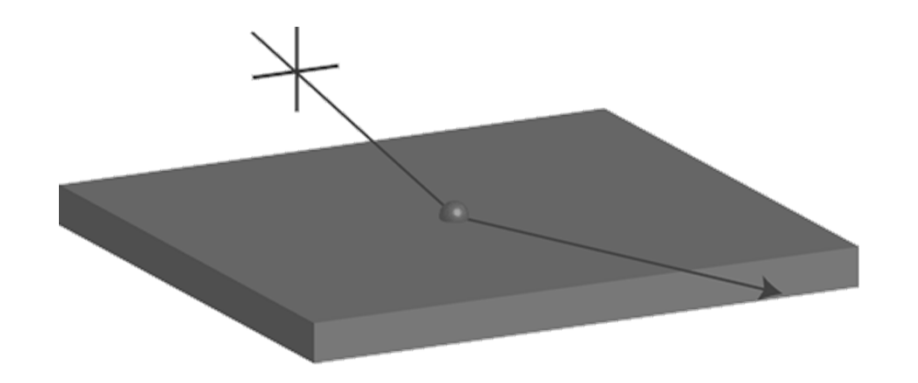
$$\alpha = \frac{\cos \theta_{\scriptscriptstyle T}}{\cos \theta_{\scriptscriptstyle I}} \qquad \beta = \frac{\mu_{\scriptscriptstyle 1} v_{\scriptscriptstyle 1}}{\mu_{\scriptscriptstyle 2} v_{\scriptscriptstyle 2}} \qquad \boxed{E_{\scriptscriptstyle 0T} = \frac{2}{\alpha + \beta} E_{\scriptscriptstyle 0I}} \qquad \boxed{E_{\scriptscriptstyle 0R} = \frac{\alpha - \beta}{\alpha + \beta} E_{\scriptscriptstyle 0I}}$$

- ullet Osserviamo inoltre che per lpha=eta l'onda riflessa ha ampiezza nulla
  - In questo caso non c'è onda riflessa, tutta l'onda viene trasmessa
  - L'angolo di incidenza per il quale questo accade si chiama angolo di Brewster
    - Dalle formule precedenti si ricava facilmente

$$\sin^2 heta_{_B} = rac{1 - eta^2}{ig( n_{_1} \ / \ n_{_2} ig)^2 - eta^2}$$

- Per la luce con polarizzazione perpendicolare al piano di incidenza non esiste un fenomeno analogo
  - Supponiamo che un fascio di luce con polarizzazione arbitraria incida su una superficie con angolo di incidenza uguale (o prossimo) all'angolo di Brewster
    - La componente con polarizzazione parallela al piano di incidenza non è riflessa: è trasmessa, in pratica assorbita
    - Tutta la luce riflessa ha polarizzazione perpendicolare al piano di incidenza
    - Su questo fenomeno si basa l'utilizzo di filtri polaroid negli occhiali per ridurre i riflessi: filtri che assorbono la polarizzazione voluta

# Esempio: lenti polarizzate





Non Polarised Lenses



**Polarised Lenses**